

ность уровня 0 нижнего потенциала мала, и поэтому исчезает дублетность спектра поглощения.

Таким образом, дублетные спектры двухъямной природы имеют две отличительные особенности: 1) при повышении температуры исчезает зависимость спектра люминесценции от длины волны возбуждения; 2) при понижении температуры исчезает дублетность спектра поглощения.

### Литература

- [1] Э. В. Шпольский. Усп. физ. наук, 71, 215, 1960.
- [2] Г. М. Свищев. Изв. АН СССР, сер. физ., 27, 696, 1963.
- [3] О. Н. Коротаев, Р. И. Персонов. Опт. и спектр., 32, 900, 1972.
- [4] I. S. Osad'ko. Phys. Stat. Sol. (b), 82, K107, 1977.
- [5] M. C. Flanigan, J. R. de la Vega. J. Chem. Phys., 61, 1882, 1974.
- [6] И. С. Осадько, Е. И. Альшиц, Р. И. Персонов. ФТТ, 16, 1974, 1974.
- [7] К. К. Ребане, П. Саари, Т. Тамм. Изв. АН ЭССР, 19, 251, 1970.

Поступило в Редакцию 23 июля 1981 г.

УДК 539.184.01

## СВОЙСТВА НЕЛИНЕЙНЫХ ТРЕХУРОВНЕВЫХ РЕЗОНАНСОВ ПРИ ПРОИЗВОЛЬНЫХ СООТНОШЕНИЯХ ОДНОРОДНОЙ И НЕОДНОРОДНОЙ ШИРИН ПЕРЕХОДОВ

О. Г. Быкова, В. В. Лебедева, Н. Г. Быкова и А. В. Петухов

Физические основы образования структуры на доплеровски уширенном контуре перехода в присутствии сильного монохроматического поля на смежном переходе в общих чертах известны [1, 2]. Однако подробный анализ структуры проведен только в приближении  $k\bar{v} \gg \Gamma$  (доплеровский предел).

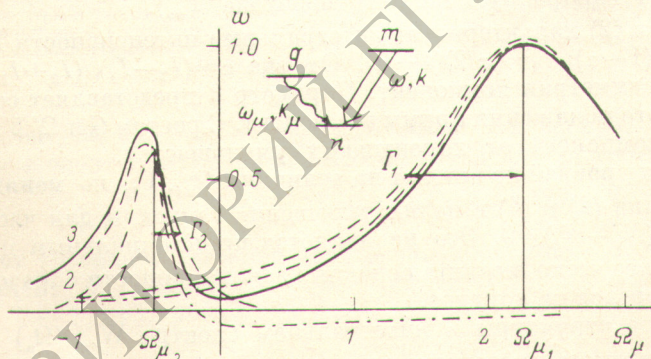


Рис. 1. Групповой спектр  $w_v(\Omega_\mu)$  (1), его компоненты (2) и лорентцевы контуры (3), соответствующие компонентам спектра. Для данного примера  $G=1$ ,  $k\bar{v}=2$ .

При этом  $\Gamma_1=0.87$ ,  $\Gamma_2=0.20$ ,  $\alpha_{\mu 1}=2.27$ ,  $\alpha_{\mu 2}=-0.48$ ,  $\alpha=-0.76$ ,  $\beta=-0.15$ ,  $I_1/I_2=7.3$ .

В этом же приближении в предельных случаях сильного [3] и слабого [4] насыщения получены аналитические выражения для формы спектра. В данной работе выполнен корректный учет влияния доплеровской ширины перехода на характер нелинейных резонансов. Объектом рассмотрения служит трехуровневая схема изогнутого типа (рис. 1), однако свойственные ей закономерности имеют место и для других трехуровневых схем. Форма спектра  $W_{gn}(\Omega_\mu)$  пробного поля дается выражением [5]

$$W_{gn}(\Omega_\mu) = \frac{1}{\sqrt{\pi\bar{v}}} \int_{-\infty}^{\infty} w_g(G, \Gamma_{ij}, \Gamma_i, N_i, \Omega, \Omega_\mu, v) \exp[-(v/\bar{v})^2] dv, \quad (1)$$

где  $G = \left| \frac{d_{mn} E_0}{\hbar} \right|$ ,  $d_{mn}$  — матричный элемент дипольного момента перехода  $m \rightarrow n$ ,  $E_0$  — амплитуда бегущей насыщающей волны,  $\Gamma_{ij} = (\Gamma_i + \Gamma_j)/2$ ,  $\Gamma_i$ ,  $\Gamma_j$  — константы релаксации уровней,  $N_i$  — интегральные заселенности уровней,  $\Omega_\mu = \omega_\mu - \omega_{ng}$ ,  $\Omega = \omega - \omega_{mg}$ ,  $v$  — проекция скорости излучателя на направление распространения насыщающей волны,  $\bar{v} = (2kT/m)^{1/2}$ .

Подынтегральная функция  $w_\nu$  в (1) описывает спектры групп излучателей, обладающих заданной проекцией скорости (назовем их «групповые спектры»).

Для анализа выражения (1) разложим  $w_\nu$  на простые дроби по частотам спектра пробного поля  $\Omega'_\mu$

$$w_\nu(\Omega_\mu) = \frac{1}{2} \operatorname{Re} \frac{1 - (\alpha + i\beta)}{\Gamma_1 + i(\Omega'_\mu - \Omega'_{\mu 1})} + \frac{1}{2} \operatorname{Re} \frac{1 + (\alpha + i\beta)}{\Gamma_2 + i(\Omega'_\mu - \Omega'_{\mu 2})}. \quad (2)$$

Здесь

$$\Omega' = \Omega - kv, \quad \Omega'_\mu = \Omega_\mu - k_\mu v, \quad (3)$$

$$\alpha = (a\Omega' + b\Delta\Gamma)(a^2 + b^2)^{-1}, \quad \beta = (a\Delta\Gamma - b\Omega')(a^2 + b^2)^{-1}, \quad (4)$$

$$\Gamma_{1,2} = (\Gamma_{ng} + \Gamma_{mg} \pm b)/2, \quad \Omega'_{\mu 1,2} = (\Omega' \pm a)/2, \quad \Delta\Gamma = \Gamma_{mg} - \Gamma_{ng}, \quad (5)$$

$$a = \operatorname{Re} Z, \quad b = \operatorname{Im} Z, \quad Z = [(\Omega'^2 + 4G^2 - \Delta\Gamma^2) + 2i\Omega'\Delta\Gamma]^{1/2}. \quad (6)$$

По физическому смыслу выражение (2) соответствует тому, что переход атомной системы из стационарного состояния  $g$  в смешанное ( $m, n$ ), образующееся под действием сильного поля, осуществляется по двум когерентным каналам [2], резонансные частоты и ширины которых равны  $\Omega_{\mu 1}$ ,  $\Gamma_1$  и  $\Omega_{\mu 2}$ ,  $\Gamma_2$  (рис. 1). (Здесь и далее особое внимание уделяется случаю наиболее резко выраженных особенностей в спектре пробного поля — для изогнутой схемы при  $k_\mu/k < 1$  и однонаправленных волнах, для каскадной схемы — при  $k_\mu/k < 1$  и встречных волнах. Численные величины в примерах соответствуют трехуровневой схеме ArII,  $\lambda = 488$  нм,  $\lambda_\mu = 514.5$  нм,  $k_\mu/k = 0.95$ ,  $\Gamma_{mg} = 0.075$  [6]. Величины  $\Omega$ ,  $\Omega_\mu$ ,  $\Gamma$ ,  $G$ ,  $kv$  нормированы на однородную ширину перехода  $\Gamma_{ng}$ ).

Параметр  $\alpha$  в (2) характеризует интегральные интенсивности  $I_1$  и  $I_2$  компонент;  $I_1 = (\pi/2)(1 - \alpha)$ ;  $I_2 = (\pi/2)(1 + \alpha)$ . Отсюда  $\alpha = (I_2 - I_1)/(I_2 + I_1)$ , т. е.  $\alpha$  является мерой асимметрии компонент. Параметр  $\beta$  представляет собой меру интерференционного искажения формы компонент. С ростом  $G$  и  $\Omega'$   $\beta \rightarrow 0$ , и отклонение формы компонент от лорентцевых уменьшается.

Заселенности уровней не влияют на величины  $\Omega_{\mu i}$ ,  $\Gamma_i$ , но меняют параметры  $\alpha$  и  $\beta$ . Выражения (2) и (4) в целях упрощения записаны для частного случая  $\Delta N = (N_m - N_n)/(N_g - N_n) = 0$ . Это не является принципиальным ограничением, но позволяет более четко выявить основные закономерности образования структуры на доплеровском контуре.

Формирование структуры в интегральном спектре  $W_{gn}(\Omega_\mu)$  определяется характером зависимости резонансных частот компонент группового спектра и их формы от скорости излучателей. Для волн с  $k_\mu/k > 1$  при любых значениях сильного поля функции  $\Omega_{\mu i}(kv)$  являются монотонными. Образующаяся при этом структура не имеет резко выраженных особенностей. Для интересующих же нас однонаправленных волн с  $k_\mu/k < 1$  по механизму образования структуры в интегральном спектре различают две области сильного поля с границей (при  $\Omega' = 0$ )

$$G_{gp} \approx \frac{1}{2} |\Gamma_{mg}/\Gamma_{ng} - 1|. \quad (7)$$

При значениях  $G > G_{gp}$  функции  $\Omega_{\mu i}(kv)$  имеют экстремум. С изменением  $kv$  компоненты группового спектра, достигнув экстремума, начинают двигаться по шкале частот в противоположном направлении (испытывают «поворот»). Например, при  $\Omega = 0$  (рис. 2) с изменением скорости одна из компонент испыты-

вает поворот при  $kv > 0$ , другая — при  $kv < 0$ . В интегральном спектре в интервале частот между  $\Omega_{\mu,1\text{пов}}$  и  $\Omega_{\mu,2\text{пов}}$  образуется провал, а сгущение компонент в окрестности частоты поворота порождает выброс. Величина выброса, а, следовательно, контрастность нелинейного резонанса определяется соотношением между  $k\bar{v}$  и  $|kv_{\text{пов}}|$ .

Значения  $kv_{1,2\text{пов}}$  и  $\Omega_{\mu,1,2\text{пов}}$  находятся из условия экстремума  $\partial(\Omega_{\mu,i})/\partial(kv) = 0$ . При  $G > 1$  с хорошей степенью точности имеем

$$\left. \begin{aligned} kv_{1,2\text{пов}} &= \Omega \mp G \frac{2k_{\mu}/k - 1}{[k_{\mu}/k(1 - k_{\mu}/k)]^{1/2}} \left\{ 1 - \frac{\Delta\Gamma^2}{G^2} \left[ \frac{k_{\mu}}{k} \left( 1 - \frac{k_{\mu}}{k} \right) \right]^{1/2} \right\}, \\ \Omega_{\mu,1,2\text{пов}} &= \frac{k_{\mu}}{k} \Omega \pm G \left[ \frac{k_{\mu}}{k} \left( 1 - \frac{k_{\mu}}{k} \right) \right]^{1/2} \left\{ 1 - \frac{\Delta\Gamma^2}{G^2} \left[ \frac{k_{\mu}}{k} \left( 1 - \frac{k_{\mu}}{k} \right) \right]^{1/2} \right\}. \end{aligned} \right\} \quad (8)$$

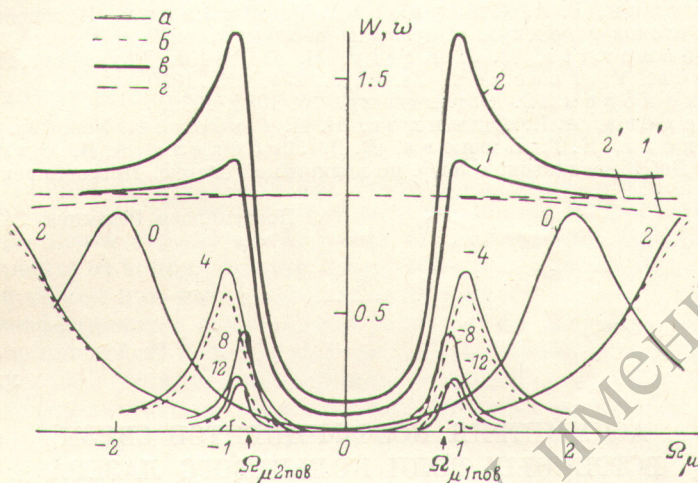


Рис. 2. Влияние доплеровской ширины на структуру в интегральном спектре.

Для данного примера  $G=2$ . а — групповые спектры при различных  $kv$  (значения  $kv$  даны на рисунке). б — те же групповые спектры с учетом максвелловского фактора при  $kv=10$  (случай Аг II). Для  $k\bar{v}=100$  максвелловский фактор близок к 1 для всех приведенных значений  $k\bar{v}$ . в — интегральный спектр при  $k\bar{v}=10$  (1) и  $k\bar{v}=100$  (2). г — доплеровский контур при  $k\bar{v}=10$  (1') и  $k\bar{v}=100$  (2'). Численные расчеты кривых выполнены по формуле (1) на ЭВМ.

(При  $\Delta\Gamma=0$  выражения (8) являются точными для всех  $G$ ). Полная ширина поворотных компонент (на половине высоты) определяется соотношением

$$\Gamma_{\text{пов}} = 2\Gamma_k = 2k_{\mu}/k\Gamma_{mg} + 2(1 - k_{\mu}/k)\Gamma_{ng}. \quad (9)$$

Существует граничное значение  $k\bar{v}_{\text{гр}}$ , начиная с которого структура практически не зависит от максвелловского фактора. Для  $k_{\mu}/k$ , удовлетворяющих условию  $|2k_{\mu}/k - 1| \approx 1$ , имеем

$$k\bar{v}_{\text{гр}} \approx 2|kv_{\text{пов}}| \approx 2G \frac{|2k_{\mu}/k - 1|}{[k_{\mu}/k(1 - k_{\mu}/k)]^{1/2}}. \quad (10)$$

Только при выполнении условия  $k\bar{v} > k\bar{v}_{\text{гр}}$  допустимо в формуле (1) выносить максвелловский фактор за знак интеграла и переходить к доплеровскому пределу.

При значениях  $G < G_{\text{гр}}$  с изменением  $kv$  поворота компонент группового спектра не происходит. Формирование структуры осуществляется за счет интерференции каналов. Глубина провала и его форма в этой области практически не зависят от доплеровской ширины. Причина этого состоит в том, что основной вклад в формирование структуры вносят компоненты групповых спектров с  $kv$ , не превышающими нескольких  $|\Delta\Gamma|$ . Следовательно, при достаточно слабых полях уже при  $k\bar{v} \geq (1 \div 2)$  можно переходить к доплеровскому пределу. Именно этот случай рассмотрен в работе [4].

При  $G > G_{\text{гр}}$  большой интерес представляет  $\Omega \geq kv$ . Если соотношение между  $\Omega$  и  $G$  таково, что  $kv_{1\text{пов}} \approx 0$ , то  $kv_{2\text{пов}} \approx 2\Omega$ . Тогда в результате большого различия максвелловских факторов для  $kv_{1\text{пов}}$  и  $kv_{2\text{пов}}$  один из выбросов исчезает, а второй превращается в узкий интенсивный пик на крыле доплеровской линии [7]. Заметим, что этот пик существует только в условиях конечной ширины распределения излучателей по скоростям. Узкий пик, изолированный от основной доплеровской линии и имеющий ширину, в пределе равную  $\Gamma_{\text{пов}}$  (9), может представлять интерес для целей нелинейной спектроскопии.

Авторы благодарны Р. И. Соколовскому и А. И. Одинцову за ценные обсуждения.

#### Литература

- [1] В. С. Летохов, В. П. Чеботаев. Принципы нелинейной лазерной спектроскопии. «Наука», М., 1975.
- [2] С. Г. Раутиан, Г. И. Смирнов, А. М. Шалагин. Нелинейные резонансы в спектрах атомов и молекул. «Наука», Новосибирск, 1979.
- [3] N. Skribanowitz, M. J. Kelly, M. S. Feld. Phys. Rev., A6, 2302, 1972.
- [4] T. Hansch, P. Toschek. Zs. Phys., 236, 213, 1970.
- [5] Р. И. Соколовский. Опт. и спектр., 28, 1033, 1970.
- [6] В. Ф. Китаева, А. И. Одинцов, Н. Н. Соболев. Усп. физ. наук, 99, 1969.
- [7] О. Г. Быкова, Н. Г. Быкова, В. В. Лебедева, А. И. Одинцов. Доклад на VII Всес. Вавиловской конф. по нелинейной оптике, Новосибирск, 22—25 июня 1981.

Поступило в Редакцию 24 июля 1981 г.

УДК 621.373 : 535

### АСИММЕТРИЯ КОЭФФИЦИЕНТОВ СВЯЗИ ВСТРЕЧНЫХ ВОЛН КОЛЬЦЕВОГО ЛАЗЕРА

А. Я. Бирман, А. Ф. Савушкин и В. А. Соломатин

Как известно [1], коэффициенты связи  $S_a$ ,  $S_b$  между встречными волнами при рассеянии на шероховатой поверхности идеально проводящего отражателя кольцевого резонатора подчиняются соотношению симметрии  $S_a = S_b$ , причем это соотношение справедливо для любой реализации случайной поверхности, удовлетворяющей условию  $\sigma \ll \lambda$ , где  $\sigma$  — среднеквадратичная высота неровностей,  $\lambda$  — длина волны излучения. Известно также [2], что асимптотика частотной характеристики кольцевого лазера при больших значениях частотной невязности резонатора содержит две компоненты, одна из которых пропорциональна  $\text{Re } S_a S_b$ , не зависит от расстройки частоты генерации относительно центра контура усиления, а другая, пропорциональна  $\text{Im } S_a S_b$ , является нечетной функцией расстройки. Таким образом, в случае симметричной связи, нестабильность расстройки не приводит в результате рассеяния к флуктуациям частоты биений между встречными волнами кольцевого лазера.

На самом деле, вывод о симметрии коэффициентов связи при рассеянии на идеально проводящей шероховатой поверхности не является точным, а справедлив лишь в силу приближений, допущенных при анализе коэффициентов связи в [1]. В настоящем сообщении приведены результаты более детального анализа свойств симметрии коэффициентов связи при рассеянии на идеально проводящей шероховатой поверхности.

Воспользуемся методом Кирхгофа для описания рассеяния волн на статистически неровной поверхности [3-5]. Коэффициенты связи между встречными волнами кольцевого резонатора при рассеянии на поверхности сферического отражателя можно описать в рамках этого метода следующим соотношением:

$$S_q^{(mn)} = -\exp(\mp 2ikz_0) \int_{q=a, b} dx dy |\varphi_{mn}(x, y)|^2 \exp\{\mp 2ikp_x \sin \varphi x - 2ik \cos \varphi \xi(x, y)\}, \quad (1)$$